

## BAB 3 DIMENSION BASED FNLVQ

Pada bab ini dijelaskan mengenai modifikasi yang dilakukan pada algoritma pembelajaran FNLVQ yang sudah dibahas sebelumnya pada Bab 2. Algoritma hasil modifikasi dibahas secara lengkap pada Bab 3 ini. Pada bab ini juga akan dibahas berbagai skenario eksperimen yang dilakukan terhadap algoritma ini, termasuk eksperimen dengan data murni dan data *noisy*.

### 3.1 Dimension Based-FNLVQ

Dalam rangka meningkatkan tingkat pengenalan yang mampu dicapai jaringan FNLVQ, dilakukanlah modifikasi terhadap algoritma pembelajarannya. Modifikasi yang dilakukan bertujuan untuk meningkatkan presisi pembelajaran dan pada akhirnya akan menjadikan jaringan mampu mencapai tingkat pengenalan yang lebih tinggi.

Pembelajaran yang sebelumnya dilakukan dengan memperbaharui vektor perwakilan per vektor, dimodifikasi agar terjadi pembaharuan per satuan dimensi, dimana setiap dimensinya berbentuk bilangan *fuzzy* segitiga. Oleh karena itu algoritma hasil modifikasi ini akan disebut dengan nama *dimension-based* FNLVQ sedangkan FNLVQ yang sebelumnya dibahas pada Bab 2 akan disebut sebagai *vector-based* FNLVQ.

Pada algoritma *dimension-based* FNLVQ ini, terjadi 3 tahap pengerjaan yang sama seperti pada *vector based* FNLVQ, yaitu pembentukan vektor perwakilan, tahap *training*, kemudian tahap *testing*. Perbedaan yang ada adalah pada tahap *training*, karena pengubahan vektor perwakilan sesuai dengan data masukan dilakukan per dimensi, bukan lagi per vektor. Struktur jaringan *dimension-based* FNLVQ juga sama seperti *vector-based* FNLVQ pada Bab 2.

#### 3.1.1 Pembentukan Vektor Perwakilan

Pembentukan vektor perwakilan pada inisialisasi jaringan *dimension-based* FNLVQ sama persis dengan pembentukan vektor perwakilan pada *vector-based* FNLVQ. Jumlah data yang digunakan masih 15 data per kelas untuk membentuk vektor perwakilan yang berbentuk vektor *fuzzy*.

### 3.1.2 Training

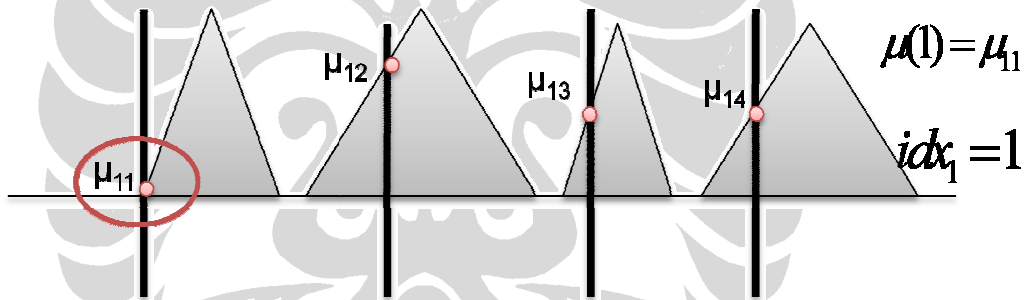
Pada tahap *training*, terdapat perbedaan yang mencolok antara pengubahan vektor perwakilan, karena yang mengalami perubahan hanya 1 dimensi yang memiliki nilai similaritas terkecil pada kelas pemenang. Untuk melakukan hal itu, ketika dilakukan penghitungan nilai similaritas, perlu dicatat indeks dimensi yang perlu diubah. Langkah-langkah tahap *training* adalah sebagai berikut.

1. Semua data membentuk suatu *training set* yang akan digunakan untuk melatih. Sebuah data input misalnya  $\vec{x} = (\tilde{x}_1, \tilde{x}_2, \dots, \tilde{x}_n)$ , dimana setiap dimensi  $x_i$  adalah sebuah bilangan *fuzzy*  $\tilde{x}_i = \langle x_i^{(1)}, x_i^{(2)}, x_i^{(3)} \rangle$ .

Sama seperti pada *vector based FNLVQ*, data berasal dari 1 kamera saja (1 foto) sehingga setiap dimensi hanya memiliki 1 nilai. Dengan demikian *fuzzy* number yang dibentuk memiliki nilai yang sama untuk komponen minimal, rata-rata, serta maksimalnya (menyerupai garis lurus seperti bilangan *crisp*).

2. Hitung nilai similaritas per dimensi vektor masukan untuk setiap  $\tilde{x}_i$  pada vektor input  $\vec{x}$ , terhadap semua vektor perwakilan  $\vec{w}_j = (\tilde{w}_{1j}, \tilde{w}_{2j}, \dots, \tilde{w}_{nj})$  sehingga diperoleh nilai similaritas  $M_i = \{\mu_{i1}, \mu_{i2}, \dots, \mu_{in}\}$  untuk setiap kelas. Penghitungan nilai similaritas ini masih mengikuti kaidah perpotongan yang sama dengan pada persamaan 2.8 atau 2.9, tergantung nilai komponen *fuzzy*.
3. Dari  $M_i = \{\mu_{i1}, \mu_{i2}, \dots, \mu_{in}\}$  setiap kelas ( $1 < i < n$ ), kemudian dicari nilai  $\mu$  minimal yang ada pada kelas tersebut. Nilai  $\mu$  tersebut perlu disimpan beserta dengan indeks dimensi yang memiliki nilai  $\mu$  minimal tersebut, karena hanya dimensi tersebut yang akan mengalami perubahan nantinya. Misalnya saja  $\min(M_i)$  untuk kelas ke- $i$  ada pada indeks ke- $j$ , maka perlu disimpan nilai  $\mu_j$  dan indeks  $j$  pada vektor *idx* ( $idx_i = j$ ).

4. Berikutnya, dari semua nilai similaritas minimal dari k buah kelas dicari nilai maksimal yang ada ( $\mu_{final} = \max(\mu(1), \mu(2), \dots, \mu(k))$ ) sebagai nilai  $\mu$  akhir. Kelas dengan nilai  $\mu$  maksimal ini menjadi BMU untuk masukan tersebut.
5. Setelah terjadi klasifikasi, akan dilakukan perubahan terhadap vektor perwakilan sesuai hasilnya (Gambar 3.1). Terdapat 3 kemungkinan yang terjadi, yaitu:
  - a. Nilai similaritas terbesar adalah 0. Jika hal ini terjadi, maka data *training* dianggap tidak masuk ke dalam kelas manapun. Pada kasus ini terjadi pelebaran semua dimensi vektor perwakilan, namun berbeda dari *vector-based* FNLVQ yang melebarkan semua dimensi pada semua vektor perwakilan, *dimension-based* FNLVQ hanya melebarkan vektor perwakilan untuk kelas yang sesungguhnya saja. Indeks data masukan diketahui karena jenis pembelajaran yang bersifat *supervised*.



Gambar .3.1 Pemotongan Data Masukan dengan Vektor Perwakilan serta Pencatatan Nomor Dimensi

Pelebaran dilakukan mengikuti persamaan 3.1. Persamaan ini sama dengan persamaan 2.14 tetapi hanya berlaku untuk  $j$ =indeks kelas yang sebenarnya.

$$w_{ij}^{(1)} = w_{ij}^{(2)} - \beta.(w_{ij}^{(2)} - w_{ij}^{(1)})$$

$$w_{ij}^{(2)} = w_{ij}^{(2)}$$

$$w_{ij}^{(3)} = w_{ij}^{(2)} + \beta.(w_{ij}^{(3)} - w_{ij}^{(2)}) \quad (3.1)$$

- b. Jika hasil klasifikasi benar, contohnya ketika data masukan adalah data dari kelas 1, kemudian nilai  $\mu$  terbesar ada pada kelas 1 sehingga hasil kategorisasi jaringan juga kelas 1. Untuk dimensi indeks  $idx_k$  dimana  $k$  adalah indeks kelas pemenang, dilakukan pergeseran mendekat dan pelebaran bilangan *fuzzy* pada dimensi tersebut. Jika dimensi tersebut berupa bilangan *fuzzy*  $\tilde{w}_{ik} = \langle w_{ik}^{(1)}, w_{ik}^{(2)}, w_{ik}^{(3)} \rangle$ , maka nilai tengah  $w_{ik}^{(2)}$  didekatkan kepada data masukan sesuai persamaan 2.15 yang sudah dijabarkan pada Bab 2, kemudian nilai  $w_{ik}^{(1)}$  dan  $w_{ik}^{(3)}$  mengikuti.

Selanjutnya  $w_{ik}$  dilebarkan sama seperti pada persamaan 3.1, dengan  $\beta$  lebih besar dari 1. Ini dilakukan hanya pada dimensi indeks ke  $idx_k$  ( $i = idx_k$ ) dari vektor perwakilan kelas ke  $k$  ( $j=k$ ).

- c. Jika hasil klasifikasi salah, contohnya ketika data masukan adalah data dari kelas 1, tetapi kemudian nilai  $\mu$  terbesar ada pada kelas 3 sehingga hasil kategorisasi jaringan adalah kelas 3. Untuk kasus ini dilakukan 2 (dua) buah perubahan, yaitu pada vektor perwakilan kelas hasil klasifikasi yang salah serta pada vektor perwakilan kelas yang seharusnya.

Untuk dimensi indeks  $idx_k$  dimana  $k$  adalah indeks kelas pemenang, dilakukan penggeseran menjauh dan penyempitan bilangan *fuzzy* pada dimensi tersebut. Untuk dimensi  $\tilde{w}_{ik}$  tersebut, nilai tengah  $w_{ik}^{(2)}$  dijauhkan dari data masukan sesuai persamaan 2.16 pada Bab 2, kemudian nilai  $w_{ik}^{(1)}$  dan  $w_{ik}^{(3)}$  mengikuti.

Selanjutnya  $w_{ik}$  disempitkan menggunakan persamaan 3.1, tetapi dengan  $\beta$  lebih kecil dari 1 (satu). Ini dilakukan hanya pada dimensi indeks ke  $idx_k$  ( $i = idx_k$ ) dari vektor perwakilan kelas ke  $k$  ( $j=k$ ).

Untuk dimensi indeks  $idx_l$  dimana  $l$  adalah indeks kelas yang seharusnya (dalam contoh adalah kelas 1) , dilakukan pelebaran pada dimensi tersebut, sama seperti pada poin b.

Ketika semua data pada *training set* sudah dimasukkan ke dalam jaringan dan dilakukan pembelajaran, maka dikatakan telah dilakukan pembelajaran 1 *epoch*. Pembelajaran dilakukan secara berulang dengan laju pembelajaran ( $\alpha$ ) yang semakin diperkecil. Ketika nilai  $\alpha$  sudah memenuhi syarat henti (ditentukan nilai  $\alpha$  minimal sebagai batas pembelajaran), maka fase *training* sudah selesai.

Sama seperti eksperimen yang dilakukan pada *vector-based FNLVQ*, data *training* yang menyerupai data *crisp* karena nilai komponen *fuzzy* yang sama dapat dijadikan bilangan *fuzzy* melalui fuzzifikasi yang serupa dengan pada *vector-based FNLVQ*.

### 3.1.2 Testing

Pada tahap *testing* tidak diperlukan lagi penyimpanan  $idx_j$  karena tidak lagi dilakukan pengubahan vektor perwakilan, hanya perlu dilakukan komputasi nilai similaritas untuk klasifikasi. Sama seperti pada tahap *training*, data *testing* juga berasal dari 1 buah citra saja, sehingga nilai setiap dimensi input hanya terdiri dari 1 nilai. Untuk dijadikan masukan pada jaringan, bisa berupa nilai *fuzzy* dengan nilai ketiga komponen yang sama (menyerupai bilangan *crisp*), atau dapat dilakukan fuzzifikasi yang sama seperti fuzzifikasi data *testing* untuk *vector based FNLVQ*.

Data masukan pada tahap *testing* dimasukkan ke dalam jaringan kemudian diproses melalui tahap-tahap yang sama seperti pada tahap *training*, namun cukup sampai mendapatkan BMU sebagai hasil klasifikasi data masukan. Melalui pembelajaran per dimensi seperti ini, diharapkan vektor perwakilan yang terbentuk setelah proses *training* lebih tepat dalam mewakili vektor-vektor pada kelas tersebut. Eksperimen yang dilakukan akan dijabarkan pada Bab 4.

### 3.2 Side and Dimension Based FNLVQ

Dalam rangka mendapatkan tingkat pengenalan yang lebih tinggi lagi, dilakukan eksplorasi lanjutan pada algoritma *dimension-based* FNLVQ pada subbab 3.1. Pada proses pembaharuan vektor perwakilan saat *training*, terdapat proses pelebaran dan penyempitan bilangan *fuzzy* pada dimensi yang mengalami pembelajaran. Algoritma *side-and-dimension based* FNLVQ ini pada dasarnya adalah algoritma dengan pembaharuan vektor perwakilan berbasiskan dimensi, sama seperti *dimension-based* FNLVQ, namun terdapat modifikasi pada proses pelebaran atau penyempitan dimensi vektor perwakilan.

#### 3.3.1 Pembentukan Vektor Perwakilan

Pembentukan vektor perwakilan pada algoritma ini tidak ada perbedaan dari pembentukan vektor perwakilan pada algoritma *vector-based* FNLVQ maupun *dimension-based* FNLVQ. Data yang diambil adalah 15 buah vektor per kelas yang kemudian dibentuk menjadi vektor perwakilan masing-masing kelas. 15 nilai untuk masing-masing dimensi menjadi sebuah bilangan *fuzzy*.

#### 3.3.2 Training

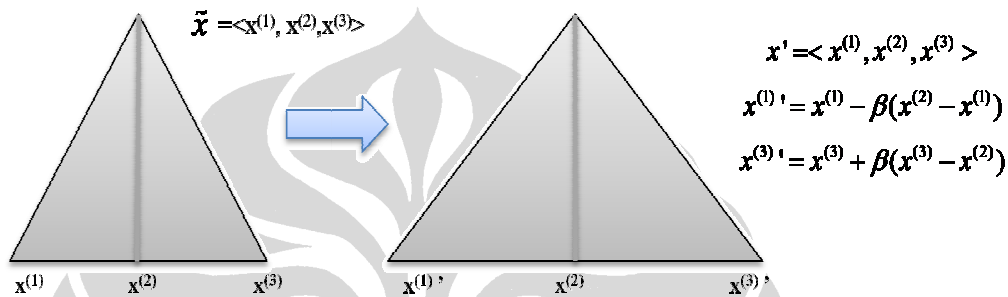
Pada tahap *training* algoritma *vector-based* maupun *dimension-based* FNLVQ, pelebaran dimensi-dimensi (atau dimensi saja) pada vektor perwakilan dilakukan sesuai persamaan 2.14 atau pada persamaan 3.1. Pada persamaan tersebut, pengubahan kelebaran dilakukan baik untuk sisi kiri bilangan *fuzzy* maupun sisi kanan (Gambar 3.2).

Pada algoritma *side-and-dimension based* FNLVQ, pelebaran dan penyempitan tidak dilakukan terhadap kedua sisi bilangan *fuzzy*, melainkan hanya salah satu saja, tergantung letak perpotongan dengan data *training*. Oleh karena itu, pada tahap *training*, perlu disimpan informasi lain selain nilai similaritas dan indeks dimensi, yaitu informasi letak perpotongan. Langkah-langkah tahap *training* adalah sebagai berikut.

1. Semua data membentuk suatu *training set* yang akan digunakan untuk melatih. Sebuah data masukan misalnya  $\vec{x} = (\tilde{x}_1, \tilde{x}_2, \dots, \tilde{x}_n)$ , dimana setiap dimensi  $x_i$  adalah sebuah bilangan *fuzzy*  $\tilde{x}_i = \langle x_i^{(1)}, x_i^{(2)}, x_i^{(3)} \rangle$ . Sama seperti *vector-based*

dan *dimension-based* FNLVQ, data berasal dari 1 kamera saja (1 foto) sehingga setiap dimensi hanya memiliki 1 nilai. Dengan demikian *fuzzy* number (menyerupai garis lurus seperti bilangan *crisp*).

2. Hitung nilai similaritas per dimensi vektor masukan untuk setiap  $x_i$  pada vektor input  $x$ , terhadap semua vektor perwakilan  $w_j = (w_{1j}, w_{2j}, \dots, w_{nj})$  sehingga didapatkan nilai similaritas  $M_i = \{\mu_{i1}, \mu_{i2}, \dots, \mu_{in}\}$  untuk setiap kelas.

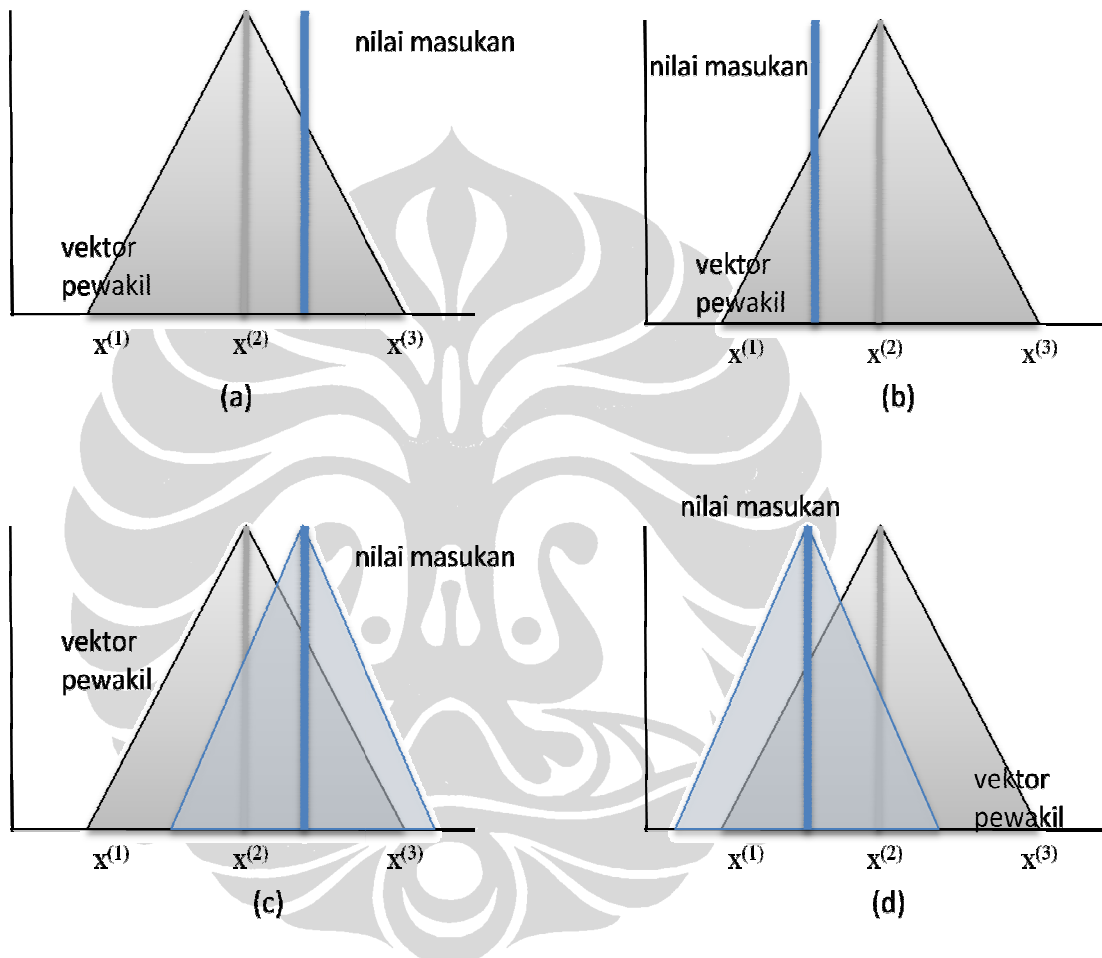


**Gambar 3.2 Pelebaran Dimensi Vektor Perwakilan**

3. Dari  $M_i = \{\mu_{i1}, \mu_{i2}, \dots, \mu_{in}\}$  setiap kelas ( $1 < i < n$ ), kemudian dicari nilai  $\mu$  minimal yang ada pada kelas tersebut. Nilai  $\mu$  tersebut perlu disimpan beserta dengan indeks dimensi yang memiliki nilai  $\mu$  minimal tersebut, karena hanya dimensi tersebut yang akan mengalami perubahan nantinya. Misalnya saja  $\min(M_i)$  untuk kelas ke- $i$  ada pada indeks ke- $j$ , maka perlu disimpan nilai  $\mu_j$  dan indeks  $j$  pada vektor  $idx$  ( $idx_i = j$ ). Untuk dimensi tersebut, perlu dicari letak perpotongan data masukan terhadap vektor perwakilan.

Perpotongan data masukan dengan vektor perwakilan dapat diperiksa dari nilai yang dimiliki bilangan masukan. Jika bilangan masukan berbentuk *fuzzy* dengan ketiga komponen bernilai sama, maka nilai yang diperiksa adalah 1 nilai tersebut, sedangkan jika bilangan masukan berbentuk *fuzzy* hasil fuzzifikasi data, maka nilai yang diperiksa adalah nilai komponen rata-rata (tengah) dari bilangan *fuzzy* tersebut.

Dari nilai data masukan yang dibandingkan dengan vektor perwakilan, jika nilai bilangan masukan lebih kecil daripada nilai rata-rata komponen *fuzzy* pada vektor perwakilan, maka letak perpotongan dikatakan di sebelah kiri. Sebaliknya, jika nilai bilangan masukan lebih besar, maka letak perpotongan dikatakan di sebelah kanan (Gambar 3.3).



**Gambar 3.3 Penentuan Sisi Pemotongan Data Masukan Terhadap Vektor Perwakilan. (a) dan (c) Pemotongan di Sisi Kanan. (b) dan (d) Pemotongan di Sisi Kiri**

4. Berikutnya, dari semua nilai similaritas minimal dari  $k$  buah kelas dicari nilai maksimal yang ada ( $\mu_{final} = \max(\mu(1), \mu(2), \dots, \mu(k))$ ) sebagai nilai  $\mu$  akhir. Kelas dengan nilai  $\mu$  maksimal ini menjadi *best matching unit* untuk masukan tersebut.



Pada saat dilakukan pelebaran atau penyempitan vektor perwakilan, pelebaran hanya dilakukan pada 1 sisi saja dari bilangan *fuzzy* sesuai letak perpotongan dengan data masukan (Gambar 3.4). Pelebaran atau penyempitan bilangan *fuzzy* pada *training* kemudian berubah, sesuai persamaan 3.2.

Pelebaran yang terjadi akan membentuk dimensi-dimensi vektor perwakilan yang lebih tepat, karena pembaharuan vektor perwakilan dengan perhitungan yang lebih presisi. Metode ini terutama diharapkan akan meningkatkan pengenalan *outlier*, karena pelebaran dimensi yang dibatasi dengan lebih ketat hanya akan mengambil nilai yang benar-benar sesuai untuk diwakilkan.

$$w_{ij}^{(2)} = w_{ij}^{(2)}$$

jika letak perpotongan di sebelah kiri:

$$w_{ij}^{(1)} = w_{ij}^{(2)} - \beta \cdot (w_{ij}^{(2)} - w_{ij}^{(1)})$$

jika letak perpotongan di sebelah kanan:

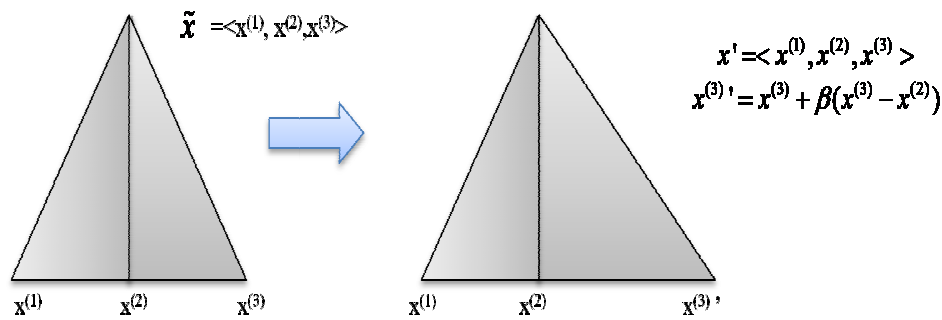
$$w_{ij}^{(3)} = w_{ij}^{(2)} + \beta \cdot (w_{ij}^{(3)} - w_{ij}^{(2)})$$

(3.2)

Sama seperti eksperimen yang dilakukan pada *vector-based* dan *dimension-based* FNLVQ, data *training* yang menyerupai data *crisp* karena nilai komponen *fuzzy* yang sama dapat dijadikan bilangan *fuzzy* melalui fuzzifikasi yang serupa dengan pada *vector-based* FNLVQ.

### 3.3.3 Testing

Pada tahap *testing* tidak lagi diperlukan penyimpanan nilai *idx* untuk menyimpan indeks dimensi yang akan diperbaharui maupun informasi lokasi perpotongan data terhadap vektor perwakilan. Sama seperti pada algoritma *vector-based* dan *dimension-based*, tahap *testing* hanya terdiri dari proses klasifikasi data masukan. Klasifikasi ini dilakukan melalui komputasi nilai similaritas seperti pada tahap *training*, kemudian menentukan BMU yang sesuai.



Gambar .3.4 Pelebaran Dimensi Vektor Perwakilan

Tujuan dilakukan pembelajaran seperti ini adalah untuk mendapatkan vektor perwakilan yang lebih tepat lagi dalam mewakili vektor-vektor pada masing-masing kelas. Dengan demikian tingkat pengenalan jaringan juga bisa meningkat.

### 3.3 Eksperimen Terhadap Citra Asli

Untuk eksperimen terhadap data murni, rancangan eksperimen yang dilakukan masih sama seperti sebelumnya, dengan variabel-variabel berikut ini: (1) Penerapan fuzzifikasi (2) laju pembelajaran ( $\alpha$ ), serta (3) perbandingan data *training* dan data *testing*. Untuk penerapan fuzzifikasi pada data, dilakukan 3 skenario, yaitu (1) tanpa fuzzifikasi pada data *training* dan *testing*, (2) fuzzifikasi hanya pada data *training*, dan (3) fuzzifikasi pada data *training* dan *testing*. Eksperimen ini dilakukan dengan algoritma *side-and-dimension-based FNLVQ*.

Eksperimen dilakukan dengan melatih 10 kelas data citra wajah orang, kemudian menguji dengan 12 kelas data citra wajah orang. Karena yang dilatihkan ada 10 kelas data, maka pada lapisan keluaran akan ada 10 neuron dan nilai  $k$  pada eksperimen ini adalah 10. Hasil eksperimen berupa perhitungan 3 jenis tingkat pengenalan: (1) tingkat identifikasi (2) tingkat klasifikasi. Hasil yang diperoleh masih ingin dikembangkan lebih lanjut menjadi *side-and-dimension-based FNLVQ*. Hasil eksperimen pengenalan citra dengan menggunakan algoritma *side-and-dimension-based FNLVQ* adalah seperti pada Tabel 3.1 untuk tingkat identifikasi dan Tabel 3.2 untuk tingkat klasifikasi.

Tabel 3.1 Tingkat Identifikasi *Side-and-Dimension-Based FNLVQ* Terhadap Citra Asli

VARIABEL				
<i>Training:</i>	$\alpha$	<i>Crisp</i>	<i>Data Testing Fuzzy</i>	<i>Data Training dan</i>
<i>Testing</i>				<i>Data Testing Fuzzy</i>
5050	0.1	68%	68%	52%
	0.2	68%	68%	52%
	0.3	69%	69%	50%
	0.4	69%	68%	61%
	0.5	68%	68%	67%
7030	0.1	82%	9%	10%
	0.2	82%	9%	10%
	0.3	82%	10%	10%
	0.4	72%	10%	10%
	0.5	59%	59%	76%

Tingkat identifikasi yang dapat dicapai jika menggunakan data *crisp* mampu mencapai 82% pada keadaan paling optimal. Tingkat pengenalan tertinggi ini tercapai ketika data yang digunakan berupa data *crisp*, perbandingan data *training* dan *testing* 50%:50% dan laju pembelajaran 0.5. Tingkat pengenalan pada skenario yang lain dengan data *crisp* cenderung stabil, berkisar antara 59%-82%.

Dengan data *testing fuzzy*, tingkat identifikasi maksimal yang dicapai adalah sebesar 69%. Pada skenario lainnya, tingkat identifikasi tetap pada angka 68%-69% ketika perbandingan data *training:testing* sebesar 50%:50%, namun ketika perbandingan data *training:testing* sebesar 70%:30% tingkat identifikasi menurun sampai kisaran 9%-10%, dengan pengecualian ketika laju pembelajaran 0.5, yang mencapai tingkat identifikasi sebesar 59%.

Ketika digunakan data *training* dan *data testing*, tingkat identifikasi maksimal adalah sebesar 67%, yaitu ketika perbandingan data *training:testing* sebesar 50%:50% dan laju pembelajaran 0.5. Pada skenario yang lainnya, tingkat identifikasi yang dicapai

cenderung menurun dan lebih buruk daripada ketika digunakan data *crisp* atau data *testing* saja yang berupa bilangan *fuzzy*.

Dari Tabel 3.2 dapat dilihat tingkat klasifikasi terhadap citra asli dengan menggunakan *side-and-dimension-based* FNLVQ. Tingkat klasifikasi pada umumnya stabil dan tinggi untuk skenario manapun. Untuk data *crisp*, tingkat klasifikasi data teregistrasi sangat tinggi, yaitu pada kisaran 80%-91%, serta untuk data tidak teregistrasi berkisar antara 69%-82%. Jika dilihat dari nilai rata-rata antara keduanya, terdapat rata-rata tertinggi sebesar 63%, yaitu ketika perbandingan data *training:testing* sebesar 50%:50% dan laju pembelajaran 0.5. Pada skenario itu tingkat klasifikasi data teregistrasi sebesar 80% dan data tidak teregistrasi sebesar 85%.

Untuk data *testing fuzzy*, tingkat klasifikasi data teregistrasi mencapai 100% pada keadaan tertentu, tetapi pada saat itu pula tingkat klasifikasi data tidak teregistrasi 0%. Dengan kata lain, pada skenario tersebut jaringan mengenali data manapun. Tentunya hal ini tidak diinginkan pada suatu sistem. Tingkat klasifikasi paling seimbang jika dilihat dari rata-rata antara tingkat klasifikasi data teregistrasi dan tak teregistrasi adalah sebesar 81% ketika perbandingan data *training:testing* sebesar 50%:50% dan laju pembelajaran 0.1-0.3. Pada skenario tersebut tingkat klasifikasi data teregistrasi sebesar 84% dan data tidak teregistrasi sebesar 78%.

Untuk data *training* dan *testing*, keadaan yang sama terjadi dengan tingkat klasifikasi sebesar 100%. Dari rata-rata antara data teregistrasi dan data tidak teregistrasi, rata-rata tertinggi adalah sebesar 86%, saat tingkat klasifikasi data teregistrasi sebesar 80% dan data tidak teregistrasi sebesar 91%.

### 3.4 Eksperimen Terhadap Citra Noisy

Eksperimen ini dilakukan dengan algoritma *side-and-dimension-based* FNLVQ terhadap citra yang tidak ideal. Rancangan eksperimen masih sama seperti eksperimen

Tabel 3.2 Tingkat Klasifikasi Side-and-Dimension-Based FNLVQ Terhadap Citra Asli

VARIABEL		<i>Crisp</i>			<i>Data Testing Fuzzy</i>			<i>Data Training dan Data Testing Fuzzy</i>		
<i>Training:</i>		Data	Data Tak	Rata-	Data	Data Tak	Rata-	Data	Data Tak	Rata-
<i>Testing</i>	$\alpha$	Teregistrasi	Teregistrasi	Rata	Teregistrasi	Teregistrasi	Rata	Teregistrasi	Teregistrasi	Rata
5050	0.1	80%	82%	81%	84%	78%	81%	84%	77%	81%
	0.2	80%	82%	81%	84%	78%	81%	80%	90%	85%
	0.3	80%	83%	82%	84%	78%	81%	74%	81%	78%
	0.4	80%	83%	82%	82%	78%	80%	80%	80%	80%
	0.5	80%	85%	83%	80%	85%	83%	80%	91%	86%
7030	0.1	90%	69%	80%	9%	99%	54%	100%	0%	50%
	0.2	90%	69%	80%	9%	99%	54%	100%	0%	50%
	0.3	90%	69%	80%	100%	0%	50%	100%	0%	50%
	0.4	90%	72%	81%	100%	0%	50%	100%	0%	50%
	0.5	91%	74%	83%	91%	74%	83%	90%	61%	81%

yang menggunakan *noise* pada subbab 2.6. *Noise* ditambahkan terhadap citra yang ideal tersebut dengan menggunakan *mathematical tools* MATLAB. *Noise* yang digunakan adalah (1) *gaussian blur* 10%, (2) *poisson*, dan (3) *salt & pepper*. Citra yang didapatkan kemudian adalah citra yang terdistorsi (Gambar 2.12).

Pada skenario eksperimen ini, *training* jaringan masih dilakukan dengan data biasa. Pada tahap *testing*, jaringan diuji dengan menggunakan data yang dimanipulasi agar mengandung *noise*. Dengan demikian, dapat diuji kemampuan jaringan untuk mengenali data *noise* dari pembelajaran data biasa. Variabel eksperimen lain yang digunakan adalah (1) perbandingan data *training: testing* dan (2) laju pembelajaran ( $\alpha$ ). Untuk variabel penerapan fuzzifikasi pada data, untuk eksperimen ini tidak digunakan, dan data yang digunakan adalah data tanpa fuzzifikasi.

Eksperimen ini menggunakan algoritma *side-and dimension-based* FNLVQ. Diharapkan ada suatu peningkatan pada pengenalan dibandingkan *vector-based* FNLVQ, baik itu pengenalan data teregistrasi maupun data tidak teregistrasi. Seperti pada eksperimen dengan data tanpa *noise*, diharapkan jaringan yang mampu mengenali data teregistrasi dan data tidak teregistrasi secara seimbang.

Tingkat identifikasi yang dicapai dijabarkan dalam Tabel 3.3. Dapat dilihat pada tingkat pengenalan cenderung rendah untuk citra dengan *gaussian noise* dan *sat&pepper noise*. Untuk data dengan *gaussian noise*, jaringan hanya mampu mengidentifikasi paling tinggi sebesar 29%, dan untuk data dengan *salt&pepper noise* tingkat identifikasi lebih rendah lagi, yaitu berkisar antara 8%-14% saja.

Sementara itu, tingkat klasifikasi citra *noisy* dapat dilihat pada Tabel 3.4. Tingkat klasifikasi yang dicapai oleh *side-and-dimension-based* FNLVQ terhadap citra *noisy* masih mengikuti pola yang sama seperti tingkat identifikasinya, yaitu tingkat klasifikasi yang cukup rendah untuk citra dengan *gaussian noise* dan *salt&pepper noise*, serta tingkat klasifikasi yang masih cukup besar untuk klasifikasi citra yang mengandung *poisson noise*.

**Tabel 3.3** Tingkat Identifikasi *Side-and-Dimension-Based FNLVQ* Terhadap Citra yang Mengandung Noise

VARIABEL		GAUSSIAN NOISE	POISSON NOISE	SALT & PEPPER NOISE
<i>Training: Testing</i>	$\alpha$			
5050	0.1	29%	72%	8%
	0.2	28%	72%	8%
	0.3	28%	72%	8%
	0.4	22%	66%	6%
	0.5	24%	59%	6%
7030	0.1	25%	66%	14%
	0.2	25%	66%	14%
	0.3	24%	66%	14%
	0.4	22%	56%	13%
	0.5	21%	54%	13%

Untuk citra dengan *gaussian noise*, tingkat klasifikasi paling seimbang jika dilihat dari rata-rata keduanya adalah pada saat ketika perbandingan data *training:testing* sebesar 50%:50% dan laju pembelajaran 0.5 dengan rata-rata 75%. Saat itu tingkat klasifikasi data teregistrasi sebesar 75% dan data tidak teregistrasi 74%.

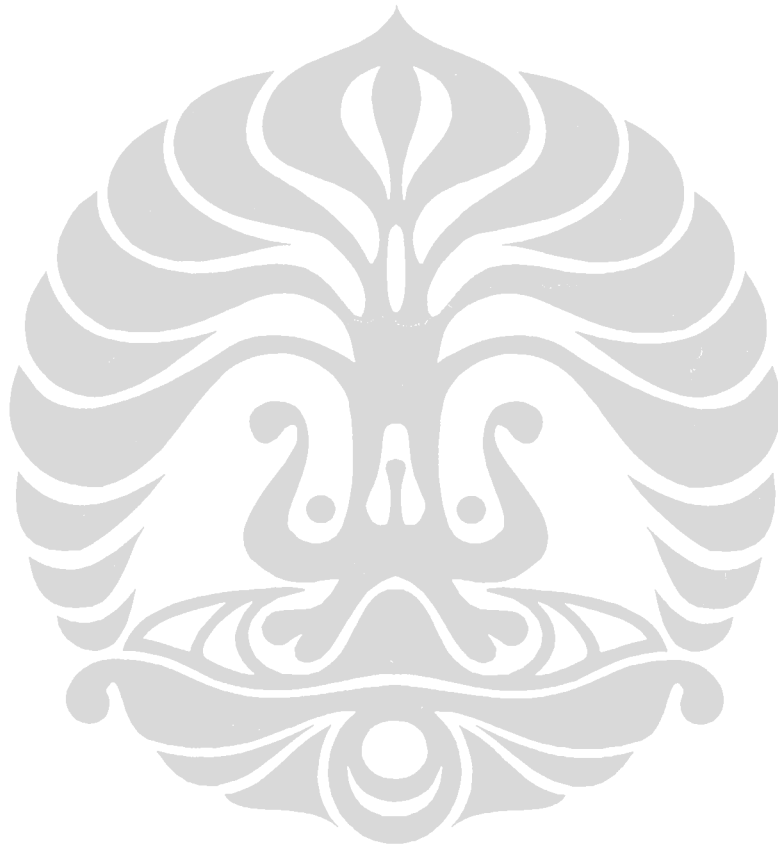
Untuk citra dengan *poisson noise*, klasifikasi rata-rata tertinggi adalah sebesar 83% pada skenario eksperimen yang sama. Pada saat tersebut tingkat klasifikasi data teregistrasi sebesar 92% dan data tidak teregistrasi sebesar 74%. Untuk citra dengan *salt&pepper noise* tingkat klasifikasi yang dicapai paling rendah. Rata-rata antara klasifikasi data teregistrasi dan tidak teregistrasi tertinggi hanya sebesar 20%. Hal ini terjadi pada skenario eksperimen yang masih sama, ketika tingkat klasifikasi data teregistrasi hanya sebesar 6% dan data tidak teregistrasi 33%. Tingkat klasifikasi data teregistrasi tertinggi yang bisa dicapai hanya sebesar 14%.

Tabel 3.4 Tingkat Klasifikasi Side-and-Dimension-Based FNLVQ Terhadap Citra yang Mengandung Noise

VARIABEL		GAUSSIAN NOISE			POISSON NOISE			SALT & PEPPER NOISE		
<i>Training:</i>		Data	Data Tak	Rata-	Data	Data Tak	Rata-	Data	Data Tak	Rata-Rata
<i>Testing</i>	$\alpha$	Teregistrasi	Teregistrasi	Rata	Teregistrasi	Teregistrasi	Rata	Teregistrasi	Teregistrasi	
5050	0.1	53%	69%	61%	85%	69%	77%	8%	13%	11%
	0.2	53%	69%	61%	85%	69%	77%	8%	13%	11%
	0.3	52%	69%	61%	85%	69%	77%	8%	13%	11%
	0.4	68%	72%	70%	87%	72%	80%	6%	28%	17%
	0.5	75%	74%	75%	92%	74%	83%	6%	33%	20%
7030	0.1	27%	9%	18%	73%	9%	41%	14%	19%	17%
	0.2	27%	9%	18%	73%	9%	41%	14%	19%	17%
	0.3	26%	9%	18%	73%	9%	41%	14%	19%	17%
	0.4	32%	56%	44%	76%	56%	66%	13%	33%	23%
	0.5	33%	61%	47%	77%	61%	69%	13%	35%	24%



Secara umum, tingkat pengenalan data teregistrasi sesuai kelasnya pada *side-and-dimension-based* FNLVQ tidak terlalu tinggi, terutama pada citra dengan *gaussian* dan *salt&pepper noise*. Tingkat pengenalan data teregistrasi tidak terlalu buruk pada citra dengan *poisson noise*. Tetapi dalam hal keseimbangan antara pengenalan data teregistrasi dan data tidak teregistrasi, tingkat pengenalan yang mampu dicapai cenderung seimbang dan lebih tinggi daripada *vector-based* FNLVQ.



## BAB 4 KOMPARASI ALGORITMA DAN ANALISIS

Pada bab ini akan dijabarkan analisis terhadap hasil eksperimen yang telah dijabarkan pada Bab 3. Analisis yang dilakukan adalah perbandingan performa antar berbagai skenario eksperimen yang sudah dilakukan agar bisa didapatkan skenario dengan tingkat pengenalan yang paling tinggi.

### 4.1 Perbandingan Tingkat Pengenalan Citra Wajah Murni

Modifikasi yang dilakukan terhadap algoritma *vector-based* FNLVQ diharapkan akan mampu meningkatkan kemampuan jaringan untuk mengenali data, baik itu data teregistrasi maupun data tidak teregistrasi. Untuk skenario eksperimen pertama, citra yang digunakan adalah citra wajah murni yang tidak mengandung *noise*.

Jaringan FNLVQ diharapkan mampu mengenal data teregistrasi maupun data tidak teregistrasi. Dari hasil eksperimen, cenderung terjadi *trade-off* antara tingkat pengenalan data teregistrasi dan tingkat pengenalan data tidak teregistrasi. Ketika jaringan mampu mencapai tingkat pengenalan yang tinggi terhadap data teregistrasi, pengenalan terhadap data tidak teregistrasi akan mengalami penurunan, dan begitu pula sebaliknya. Hal ini dapat dilihat dari keadaan tingkat pengenalan optimal yang mampu dicapai jaringan FNLVQ.

Tingkat identifikasi kedua algoritma jika dibandingkan adalah seperti pada tabel 4.1. Tingkat pengenalan tertinggi pada *vector-based* FNLVQ hanya mencapai 33%, dan pada *side-and-dimension-based* FNLVQ mampu mencapai 82%. Peningkatan yang dapat dicapai adalah sebesar 49%. Sedangkan perbandingan tingkat klasifikasi kedua algoritma adalah seperti pada Tabel 4.2.

Jika tujuan yang dituju adalah mencari tingkat klasifikasi data teregistrasi tertinggi, maka peningkatan yang bisa dicapai adalah sebesar 9% untuk data teregistrasi dan 63% untuk data tidak teregistrasi. Jika tujuannya adalah mencari tingkat klasifikasi data yang paling seimbang, maka peningkatan yang bisa dicapai adalah sebesar 19% untuk data teregistrasi dan 63% untuk data tidak teregistrasi.

**Tabel 4.1 Peningkatan Tingkat Identifikasi Side-and-Dimension-Based FNLVQ dari Vector-Based FNLVQ pada Skenario Optimal**

	Skenario	Tingkat Pengenalan
<b>Vector-Based FNLVQ</b>	Tanpa Fuzzifikasi, 70%:30%, $\alpha$ 0.5	33%
	Fuzzifikasi <i>Testing</i> , 50%:50%, $\alpha$ 0.5	
	Fuzzifikasi <i>Testing</i> , 70%:30%, $\alpha$ 0.5	
	Fuzzifikasi <i>Training</i> dan <i>Testing</i> , 70%:30%, $\alpha$ 0.5	
<b>Side-and-Dimension-Based FNLVQ</b>	Tanpa Fuzzifikasi, 70%:30%, $\alpha$ 0.1	82%
<b>Peningkatan Pengenalan</b>		49%

Tingkat klasifikasi ketika tujuan adalah mencari tingkat klasifikasi data teregistrasi tertinggi adalah sebesar 82% untuk data teregistrasi dan 11% untuk data tidak teregistrasi pada *vector-based* FNLVQ dan 91% untuk data teregistrasi dan 74% untuk data tidak teregistrasi pada *dimension-based* FNLVQ.

Sementara itu jika tujuan adalah mencari tingkat klasifikasi data teregistrasi dan tingkat data tidak teregistrasi yang paling seimbang adalah sebesar 61% untuk data teregistrasi dan 22% untuk data tidak teregistrasi pada *vector-based* FNLVQ dan 80% untuk data teregistrasi dan 85% untuk data tidak teregistrasi pada *dimension-based* FNLVQ.

Untuk peningkatan tingkat pengenalan secara umum pada semua skenario eksperimen, dapat dilihat pada Tabel 4.3. Pada umumnya, tingkat pengenalan *side-and-dimension-based* FNLVQ lebih tinggi daripada *vector-based* FNLVQ pada semua skenario eksperimen.

Tabel 4.2 Peningkatan Tingkat Klasifikasi Side-and-Dimension-Based FNLVQ dari Vector-Based FNLVQ pada Skenario Optimal

Tujuan	Algoritma	Skenario	Data Teregistrasi	Data Tak Teregistrasi
Mencari Pengenalan Data Teregistrasi Tertinggi	<i>Vector-Based FNLVQ</i>	Fuzzifikasi <i>Testing</i> , 50%:50%, $\alpha$ 0.3	82%	11%
	<i>Side-and-Dimension-Based FNLVQ</i>	Tanpa Fuzzifikasi, 70%:30%, $\alpha$ 0.1	91%	74%
	<i>Peningkatan Pengenalan</i>		9%	63%
Mencari Keseimbangan Pengenalan Data Teregistrasi dan Data Tak Teregistrasi	<i>Vector-Based FNLVQ</i>	Tanpa Fuzzifikasi, 50%:50%, $\alpha$ 0.5	61%	22%
	<i>Side-and-Dimension-Based FNLVQ</i>	Tanpa Fuzzifikasi, 50%:50%, $\alpha$ 0.5	80%	85%
	<i>Peningkatan Pengenalan</i>		19%	63%

Tabel 4.3 Perbandingan Tingkat Identifikasi dan Tingkat Klasifikasi *Vector-Based FNLVQ* dan *Side-and-Dimension-Based FNLVQ*

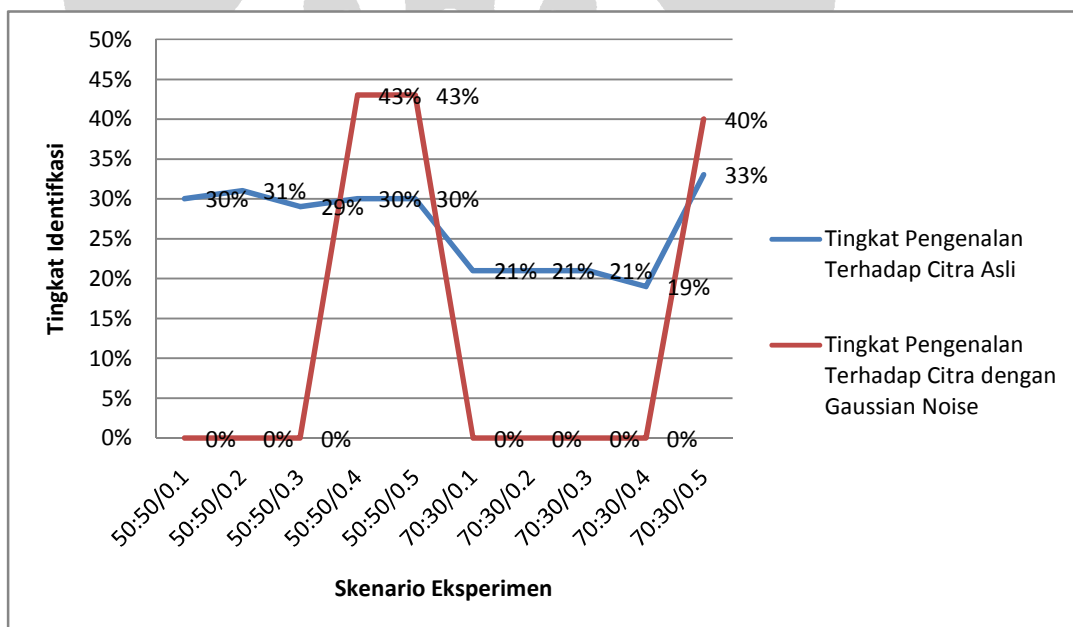
VARIABEL		TANPA FUZZIFIKASI						DENGAN FUZZIFIKASI PADA DATA TESTING						DENGAN FUZZIFIKASI DATA TRAINING DAN TESTING									
Training:Testing	$\alpha$	Vector-Based FNLVQ		Side-and-Dimension-Based FNLVQ		Peningkatan		Vector-Based FNLVQ		Side-and-Dimension-Based FNLVQ		Peningkatan		Vector-Based FNLVQ		Side-and-Dimension-Based FNLVQ		Peningkatan					
		Identifikasi	Rata-rata Klasifikasi	Identifikasi	Rata-rata Klasifikasi	Identifikasi	Rata-rata Klasifikasi	Identifikasi	Rata-rata Klasifikasi	Identifikasi	Rata-rata Klasifikasi	Identifikasi	Rata-rata Klasifikasi	Identifikasi	Rata-rata Klasifikasi	Identifikasi	Rata-rata Klasifikasi	Identifikasi	Rata-rata Klasifikasi				
		5050	0.1	30%	50%	68%	81%	38%	31%	30%	50%	68%	81%	38%	31%	10%	50%	52%	81%	42%	31%		
0.2	31%		50%	68%	81%	37%	31%	32%	50%	68%	81%	36%	31%	12%	50%	52%	85%	40%	35%				
0.3	29%		50%	69%	82%	40%	32%	31%	50%	69%	81%	38%	31%	15%	50%	50%	78%	35%	28%				
0.4	30%		38%	69%	82%	39%	44%	13%	56%	68%	80%	55%	24%	12%	39%	61%	80%	49%	41%				
0.5	30%		38%	68%	83%	38%	45%	33%	56%	68%	83%	35%	27%	30%	39%	67%	86%	37%	47%				
7030	0.1	21%	50%	82%	80%	61%	30%	30%	50%	9%	54%	-21%	4%	18%	50%	10%	50%	-8%	0%				
	0.2	21%	50%	82%	80%	61%	30%	21%	50%	9%	54%	-12%	4%	2%	50%	10%	50%	8%	0%				
	0.3	21%	50%	82%	80%	61%	30%	24%	50%	10%	50%	-14%	0%	0%	50%	10%	50%	10%	0%				
	0.4	19%	50%	72%	81%	53%	31%	13%	50%	10%	50%	-3%	0%	8%	50%	10%	50%	2%	0%				
	0.5	33%	31%	59%	83%	26%	52%	33%	48%	59%	83%	26%	35%	31%	36%	76%	81%	45%	45%				
Rata-Rata Peningkatan						45%	36%	Rata-Rata Peningkatan						18%	19%	Rata-Rata Peningkatan						26%	23%

## 4.2 Analisis Penurunan Tingkat Pengenalan terhadap Citra Noisy

Pada subbab sebelumnya dibahas mengenai analisis terhadap tingkat pengenalan pada citra wajah yang ideal dan tidak mengandung *noise*. Akan tetapi, suatu sistem pengenalan wajah yang optimal diharapkan mampu mengenali citra ketika citra tersebut tidak berada dalam kondisi optimal. Seperti yang sudah dijelaskan sebelumnya, pada eksperimen yang menggunakan *noise*, tidak diterapkan fuzzifikasi pada data. Pada subbab ini akan dibahas mengenai penurunan tingkat pengenalan citra *noisy* dibandingkan dengan pengenalan citra asli.

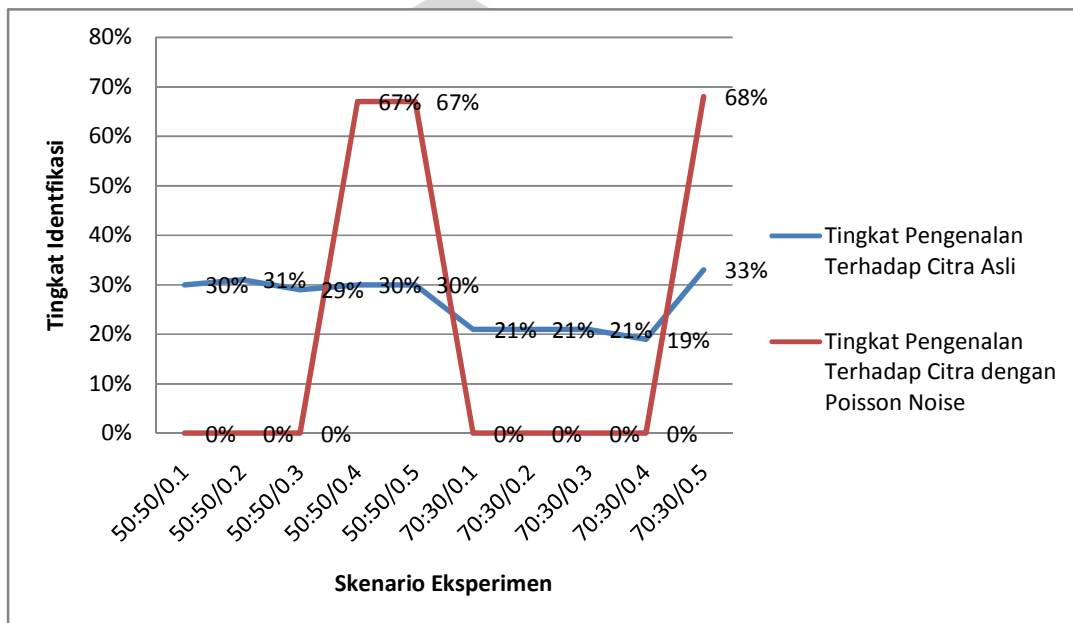
### 4.2.1 Tingkat Identifikasi terhadap Citra Noisy

Pada penerapan algoritma pengenalan *vector-based* FNLVQ, perbandingan tingkat identifikasi jaringan terhadap citra wajah murni dan citra wajah dengan *gaussian noise* adalah seperti pada Gambar 4.1. Tingkat identifikasi terhadap citra dengan *gaussian noise* menurun dengan rata-rata 14% serta maksimum mencapai 31%. Disini, tingkat



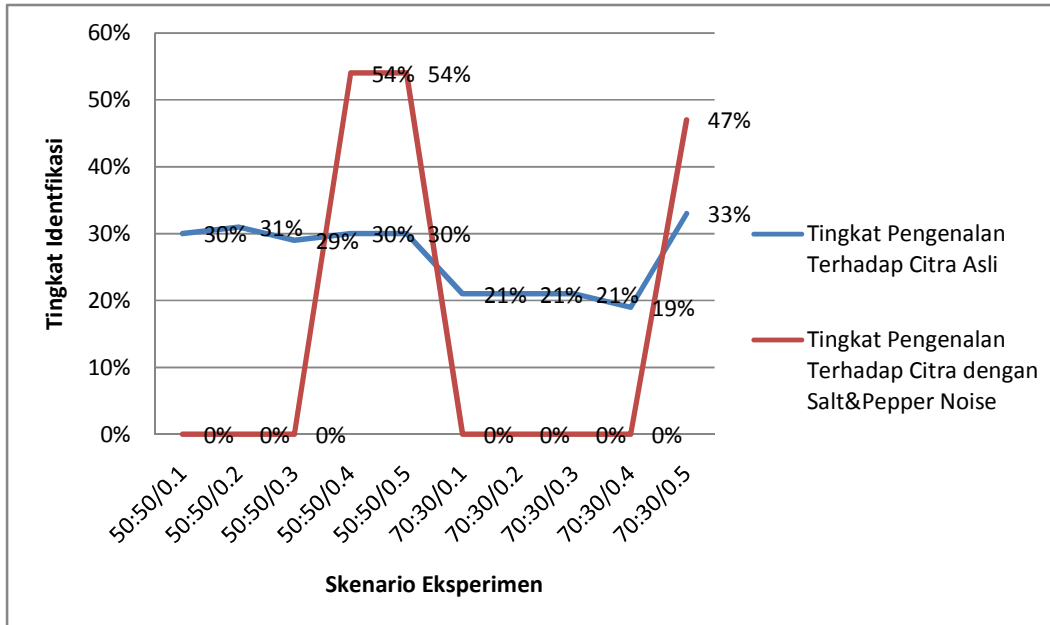
Gambar 4.1 Perbandingan Tingkat Identifikasi *Vector-Based* FNLVQ Terhadap Citra Asli dan Citra dengan *Gaussian Noise*

identifikasi terhadap data teregistrasi maksimal yang mampu dicapai oleh jaringan *vector-based* FNLVQ ini adalah sebesar 43%. Tingkat identifikasi ini bahkan lebih tinggi dibandingkan tingkat pengenalan yang mampu dicapai terhadap data yang murni. Tren perubahan tingkat identifikasi *vector-based* FNLVQ pada Gambar 4.1 memperlihatkan tingkat identifikasi terhadap data murni secara rata-rata lebih tinggi daripada tingkat identifikasi data dengan *noise*. Walau demikian, tingkat identifikasi tertinggi yang dicapai dalam identifikasi data dengan *noise* bisa lebih tinggi daripada pada identifikasi data murni.



**Gambar 4.2 Perbandingan Tingkat Identifikasi *Vector-Based* FNLVQ Terhadap Citra Asli dan Citra dengan *Poisson Noise***

Selanjutnya untuk eksperimen dengan data yang mengandung *poisson noise* (Gambar 4.2), sama halnya dengan data yang mengandung *gaussian noise*, rata-rata tingkat identifikasi juga mengalami penurunan. Pada banyak skenario jaringan tidak mampu mengidentifikasi data sama sekali (tingkat pengenalan 0%). Perbedaan dari pengujian terhadap citra dengan *gaussian noise* adalah bahwa tingkat identifikasi tertinggi yang mampu dicapai data dengan *poisson noise* bisa mencapai 67%.



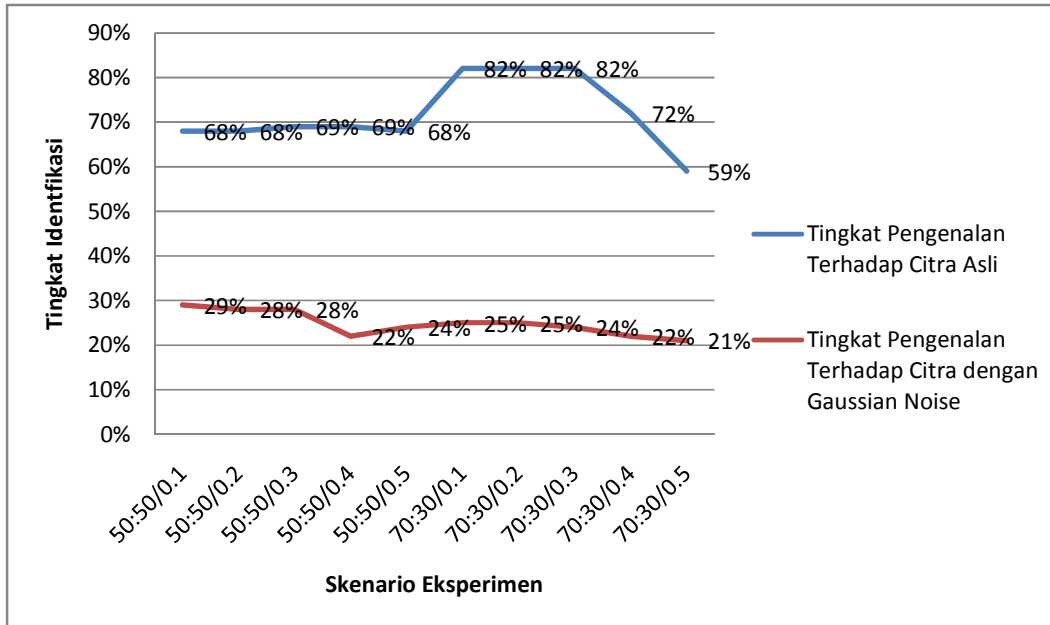
**Gambar 4.3 Perbandingan Tingkat Identifikasi *Vector-Based* FNLVQ Terhadap Citra Asli dan Citra dengan *Salt&Pepper Noise***

Pada grafik tingkat identifikasi *vector-based* FNLVQ dapat dilihat bahwa sama halnya dengan *gaussian noise*, tingkat identifikasi yang mampu dicapai untuk identifikasi citra dengan *poisson noise* juga lebih tinggi (67%) daripada tingkat identifikasi maksimum terhadap citra asli (33%). Akan tetapi, secara keseluruhan, tingkat identifikasi terhadap citra wajah murni lebih tinggi dan stabil.

Eksperimen yang terakhir adalah eksperimen dengan data yang mengandung *salt&pepper noise* (Gambar 4.3). Pada eksperimen ini, sama halnya dengan data yang mengandung *gaussian noise*, rata-rata tingkat identifikasi juga mengalami penurunan yang bisa mencapai tingkat identifikasi 0%.

Pada grafik dapat dilihat bahwa kecenderungan tingkat identifikasi masih sama seperti pada *noise* yang lainnya. Tingkat identifikasi secara umum lebih baik terhadap citra asli, tetapi pengenalan citra dengan *salt&pepper noise* bisa mencapai 54%, lebih tinggi daripada tingkat pengenalan maksimum terhadap citra asli.





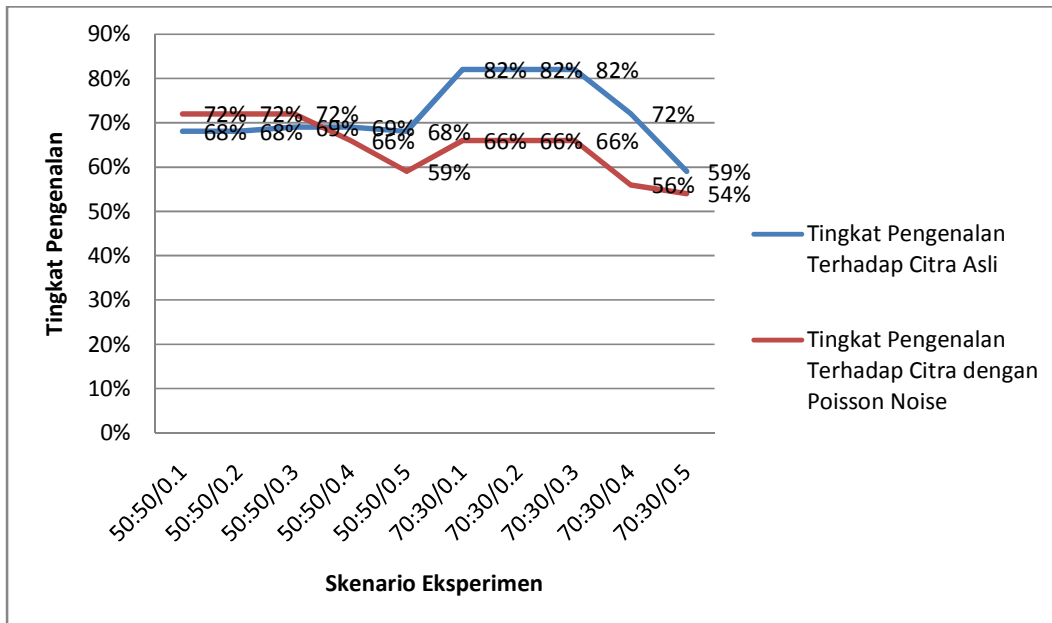
**Gambar 4.4** Perbandingan Tingkat Identifikasi *Side-and-Dimension Based FNLVQ* Terhadap Citra Asli dan Citra dengan *Gaussian Noise*

Selanjutnya untuk algoritma pembelajaran *side-and-dimension-based FNLVQ* yang diujikan terhadap citra dengan *noise* yang sama. Pada algoritma *side-and-dimension FNLVQ* ini, terdapat kecenderungan yang lebih teratur daripada algoritma *vector-based FNLVQ*.

Pertama-tama untuk data citra yang mengandung *gaussian noise*. Tingkat identifikasi untuk citra dengan *noise* pada umumnya menurun untuk semua skenario. Penurunan terjadi terutama pada data teregistrasi, dari identifikasi yang berada pada kisaran 60-80%, menjadi sebesar 21-29% yang mengakibatkan penurunan sebanyak 38-58% (Gambar 4.4).

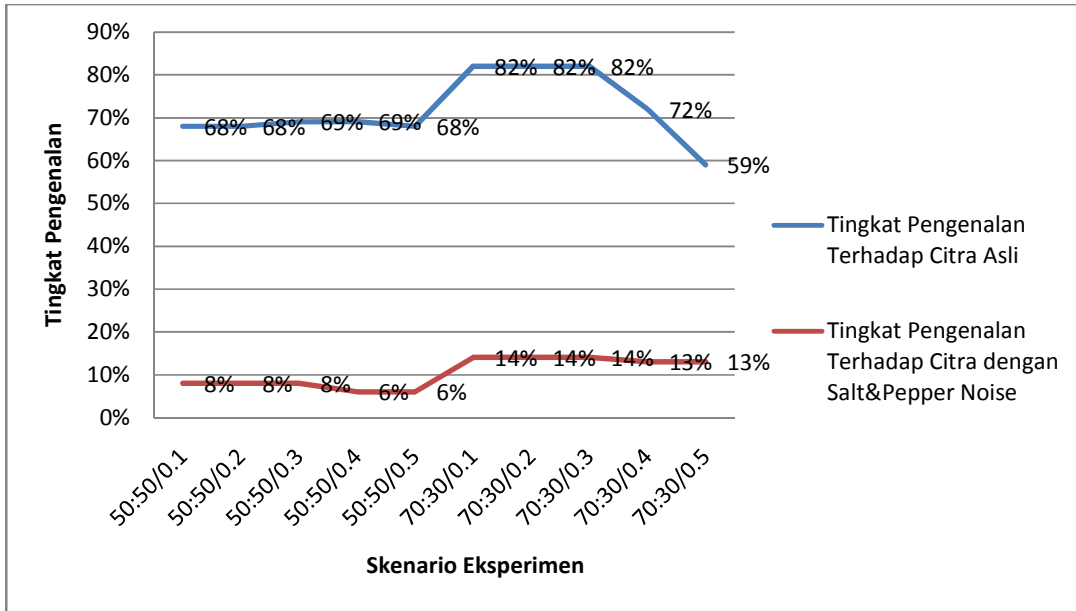
Berikutnya, untuk identifikasi citra yang mengandung *poisson noise*, penurunan identifikasi juga kurang lebih sama, walaupun besarnya identifikasi tidak sebesar penurunan pada identifikasi citra dengan *gaussian noise*. Penurunan yang terjadi untuk data teregistrasi paling besar hanya sebesar 16%, bahkan pada beberapa skenario terdapat peningkatan tingkat identifikasi sebesar 3-4% (Gambar 4.5). Terlihat bahwa pada umumnya tingkat identifikasi dengan algoritma *side-and-dimension-based FNLVQ*

untuk citra dengan *poisson noise* ini menurun. Walau demikian, penurunan yang terjadi tidak sebesar pada citra dengan *noise* jenis lainnya, bahkan pada beberapa skenario terdapat tingkat identifikasi yang justru meningkat ketika dilakukan pengujian dengan citra yang mengandung *poisson noise* sebesar 72%, yang lebih besar daripada tingkat pengenalan yang dicapai ketika memproses citra yang murni pada skenario yang sama (68%), tetapi tidak lebih besar daripada tingkat identifikasi citra asli yang paling tinggi (82%).



**Gambar 4.5 Perbandingan Tingkat Identifikasi *Side-and-Dimension-Based* FNLVQ Terhadap Citra Asli dan Citra dengan *Poisson Noise***

Eksperimen terakhir dilakukan terhadap citra yang mengandung *salt&pepper noise* (Gambar 4.6). Penurunan yang terjadi akibat adanya *noise salt&pepper* ini adalah yang terbesar dibandingkan dengan penurunan karena *noise* yang lain. Hal ini dapat dilihat pada. Penurunan yang terjadi pada pengenalan data teregistrasi yang mengandung *salt&pepper noise* sangat besar dibandingkan *noise* lainnya, yaitu sebesar 46-68% penurunan. Tingkat pengenalan data yang mengandung *noise* hanya sebesar 8-14%.



Gambar 4.6 Perbandingan Tingkat Identifikasi *Side-and-Dimension-Based* FNLVQ Terhadap Citra Asli dan Citra dengan *Salt&Pepper Noise*

Perbandingan tingkat identifikasi antara *vector-based* FNLVQ dan *side-and-dimension-based* FNLVQ terhadap citra dengan *noise* adalah seperti pada Tabel 4.4. Skenario yang diambil disini adalah skenario dengan hasil paling baik untuk setiap *noise*. Dapat dilihat bahwa tingkat identifikasi yang bisa dicapai oleh *side-and-dimension* FNLVQ menurun untuk identifikasi citra dengan *gaussian noise* dan citra dengan *salt&pepper noise*, sedangkan tingkat identifikasi meningkat untuk citra dengan *poisson noise*.

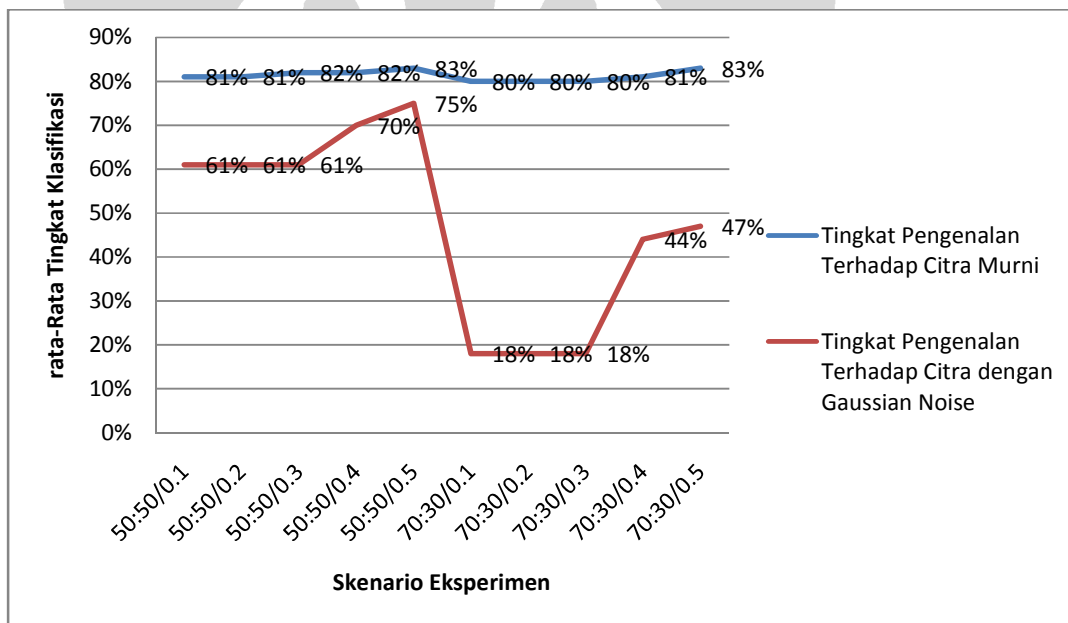
Tabel 4.4 Perubahan Tingkat Identifikasi Terhadap Citra *Noisy*

Algoritma	<i>Gaussian Noise</i>	<i>Poisson Noise</i>	<i>Salt&amp;Pepper Noise</i>
<i>Vector-Based</i> FNLVQ	43%	68%	54%
<i>Side-and-Dimension-Based</i> FNLVQ	28%	72%	14%
Perubahan Tingkat Identifikasi.	<b>-15%</b>	<b>4%</b>	<b>-40%</b>

#### 4.2.2 Tingkat Klasifikasi terhadap Citra *Noisy*

Pada eksperimen pertama terhadap algoritma *vector-based* FNLVQ terhadap citra yang mengandung *noise*, tingkat klasifikasi data teregistrasi dan data tidak teregistrasi tidak pernah mencapai suatu keadaan yang seimbang. Ketika tingkat klasifikasi data teregistrasi mencapai suatu angka tertentu, tingkat klasifikasi data tidak teregistrasi 0%, dan sebaliknya. Hal ini menunjukkan bahwa dalam hal klasifikasi citra yang mengandung *noise*, jaringan *vector-based* FNLVQ tidak mampu membedakan antara data teregistrasi dan data tidak teregistrasi.

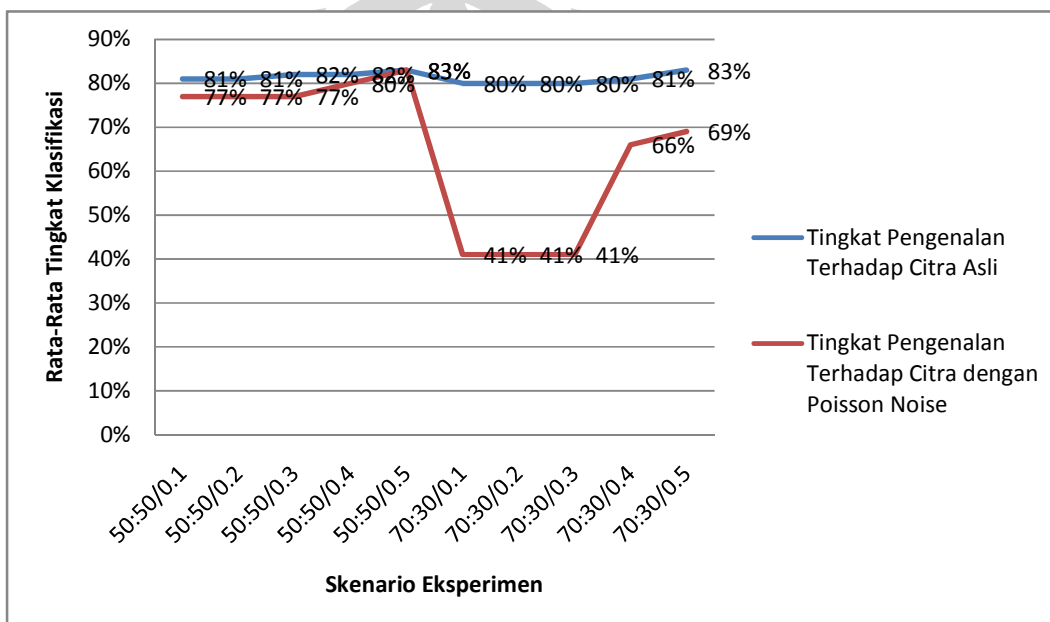
Eksperimen selanjutnya adalah eksperimen dengan menggunakan algoritma *side-and-dimension* FNLVQ. Untuk citra yang mengandung *gaussian noise*, penurunan yang terjadi cukup signifikan pada beberapa skenario (Gambar 4.7). Tingkat klasifikasi tertinggi terhadap citra dengan *gaussian noise* adalah sebesar 75%, yang masih lebih rendah daripada tingkat klasifikasi rata-rata untuk citra asli yang terendah, yaitu sebesar 71%. Tingkat klasifikasi yang terjadi fluktuatif, tetapi terdapat skenario yang masih bisa stabil pada kisaran 61%-75%. Walaupun tingkat klasifikasi citra dengan *gaussian noise*



**Gambar 4.7** Perbandingan Rata-Rata Tingkat Klasifikasi *Side-and-Dimension-Based* FNLVQ terhadap Citra Asli dan Citra dengan *Gaussian Noise*

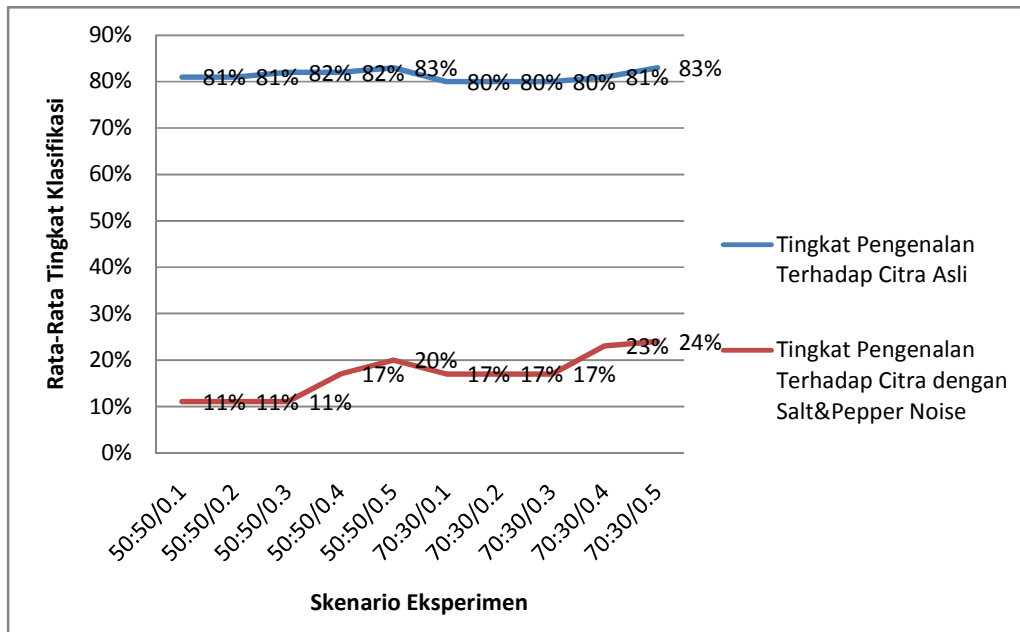
ini pada skenario tertentu mengalami penurunan yang besar, akan tetapi pada keadaan optimal rata-rata tingkat klasifikasi masih bisa mencapai angka yang cukup tinggi

Untuk citra dengan *poisson noise* (Gambar 4.8) rata-rata tingkat klasifikasi yang dicapai tidak mengalami penurunan yang berarti. Rata-rata tingkat klasifikasi terhadap citra asli berada pada kisaran 80%-83%, sedangkan rata-rata klasifikasi terhadap citra dengan *poisson noise* berada pada kisaran 41%-83%. Citra dengan *poisson noise* masih bisa mencapai keadaan maksimal tingkat klasifikasi rata-rata yang cukup tinggi, yaitu sebesar 83%.



Gambar 4.8 Perbandingan Rata-Rata Tingkat Klasifikasi *Side-and-Dimension-Based FNLVQ* terhadap Citra Asli dan Citra dengan *Poisson Noise*

Percobaan terakhir adalah pada citra dengan *salt&pepper noise*. Citra yang mengandung *noise* jenis ini mengalami penurunan yang paling besar dibandingkan dengan jenis *noise* lainnya. Tingkat klasifikasi yang dicapai hanya berada pada kisaran 11%-24% saja, jauh sekali dari tingkat pengenalan citra asli yang mencapai kisaran 80%-83% (Gambar 4.9). Jika ditinjau skenario eksperimen optimal, tingkat klasifikasi yang bisa dicapai adalah seperti pada Tabel 4.5.



**Gambar 4.9** Perbandingan Rata-Rata Tingkat Klasifikasi *Side-and-Dimension-Based* FNLVQ terhadap Citra Asli dan Citra dengan *Salt&Pepper Noise*

Tingkat klasifikasi pada umumnya cenderung mengalami peningkatan, kecuali untuk pengenalan citra teregistrasi yang mengandung *gaussian noise*. Walaupun *side-and-dimension-based* FNLVQ tidak menghasilkan tingkat identifikasi yang lebih baik daripada *vector based* FNLVQ untuk kasus *gaussian noise* dan *salt&pepper noise*, tetapi dalam tingkat klasifikasi, *side and dimension* FNLVQ mampu mencapai keseimbangan.

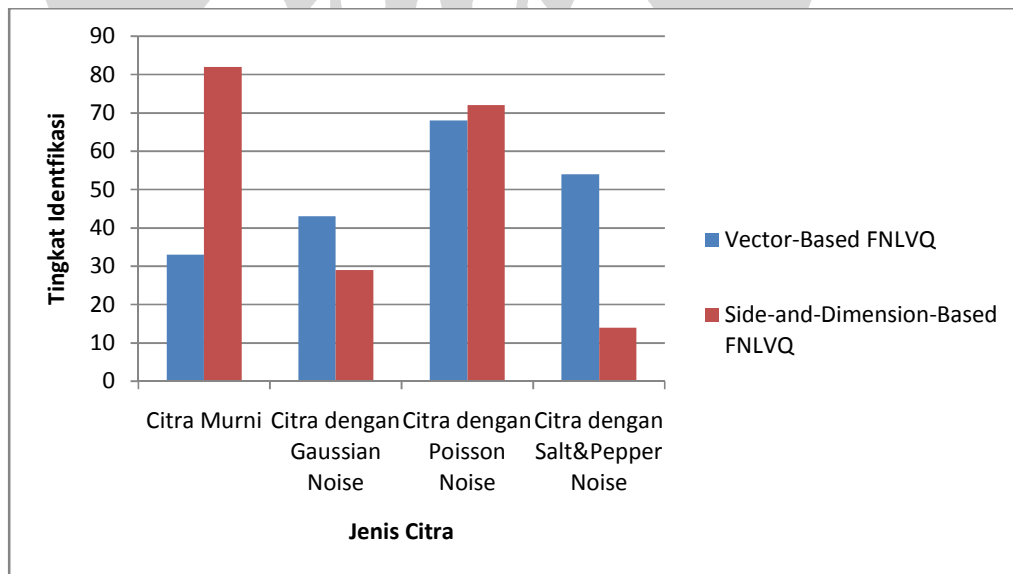
### 4.3 Perbandingan Tingkat Identifikasi dan Tingkat Klasifikasi

Sebagai analisis akhir pada perbandingan antara algoritma *vector-based* FNLVQ dan *side-and-dimension-based* FNLVQ, tingkat identifikasi adalah seperti pada Gambar 4.10. Tingkat identifikasi *side-and-dimension-based* FNLVQ terlihat meningkat secara signifikan untuk identifikasi citra asli. Di sisi lain untuk identifikasi citra yang mengandung *noise*, *vector based* FNLVQ masih lebih baik untuk jenis *noise gaussian* dan *salt&pepper*. Untuk jenis *noise poisson*, tingkat identifikasi *side-and-dimension-based* FNLVQ lebih tinggi sedikit dibandingkan *vector-based* FNLVQ.

Tabel 4.5 Perubahan Tingkat Klasifikasi Terhadap Citra Noisy

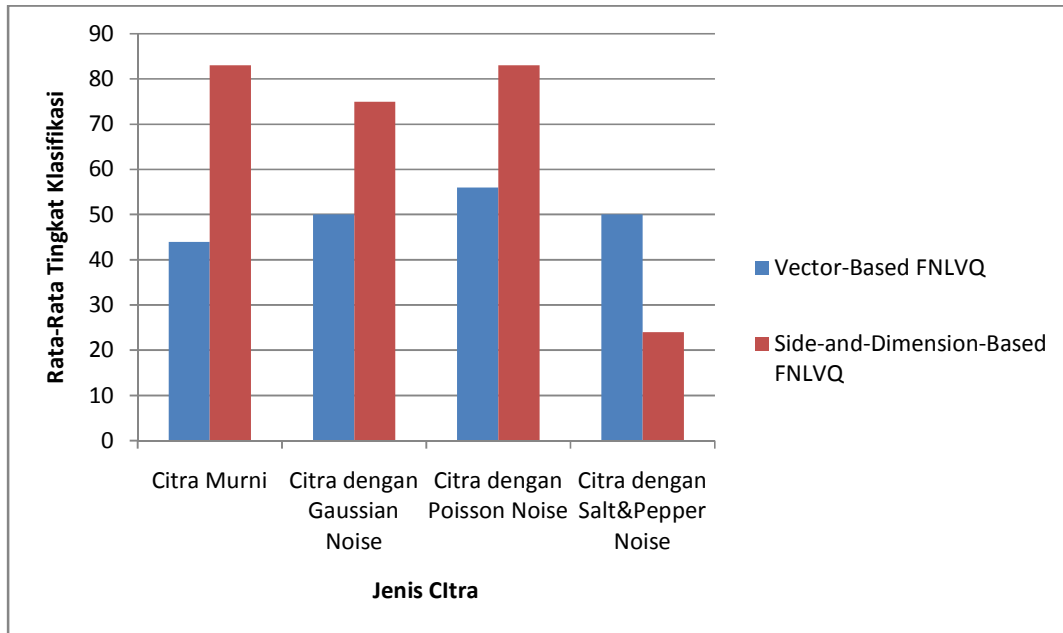
Algoritma	Gaussian Noise		Poisson Noise		Salt&Pepper Noise	
	Data Teregistrasi	Data Tak Teregistrasi	Data Teregistrasi	Data Tak Teregistrasi	Data Teregistrasi	Data Tak Teregistrasi
Vector-Based FNLVQ	71%	0%	74%	0%	62%	0%
Side-and-Dimension-Based FNLVQ	68%	72%	92%	74%	35%	61%
Perubahan	-3%	72%	18%	74%	27%	61%

Berikutnya untuk perbandingan rata-rata tingkat klasifikasi antara kedua algoritma adalah seperti pada Gambar 4.11. Tingkat klasifikasi rata-rata yang dicapai oleh *side-*



Gambar 4.10 Perbandingan Tingkat Identifikasi *Vector-Based FNLVQ* dan *Side-and-Dimension-Based FNLVQ*

*and-dimension-based* FNLVQ lebih tinggi daripada tingkat klasifikasi rata-rata *vector-based* FNLVQ pada klasifikasi citra asli, citra dengan *gaussian noise*, serta citra dengan *poisson noise*, sedangkan untuk citra dengan *salt&pepper noise*, tingkat klasifikasi rata-rata lebih tinggi dicapai dengan menggunakan algoritma *vector-based* FNLVQ.



**Gambar 4.11** Perbandingan Rata-Rata Tingkat Klasifikasi Data Teregistrasi dan Data Tidak Teregistrasi *Vector-Based* FNLVQ dan *Side-and-Dimension-Based* FNLVQ

Pembelajaran *side-and-dimension-based* FNLVQ adalah pembelajaran yang lebih teliti dan tepat, karena pembelajaran berlangsung pada satuan yang lebih kecil. Vektor perwakilan setiap kelas dilatih dan disesuaikan sedemikian hingga bisa cukup mewakili kelas tersebut. Pembelajaran yang terjadi menyesuaikan vektor perwakilan per dimensi agar mencakup semua nilai yang mungkin untuk masing-masing dimensi. Akibatnya tingkat identifikasi juga lebih tinggi, dapat dilihat dari peningkatan tingkat identifikasi dari *vector-based* FNLVQ hingga lebih dari 2 kali lipat.

Tingkat klasifikasi yang bisa dicapai oleh *side-and-dimension-based* FNLVQ terhadap juga tentunya lebih baik lagi, karena dengan pembelajaran yang lebih teliti ini, dimensi-dimensi vektor perwakilan disesuaikan dengan tepat dengan data kelas tersebut, sehingga mampu mengklasifikasikan data teregistrasi dan data tidak teregistrasi dengan baik.



Dalam hal identifikasi citra *noisy*, dimensi-dimensi pada vektor perwakilan perlu dilatih sehingga bisa mengenali rentang nilai yang lebih lebar untuk setiap dimensinya. Jika pembelajaran yang terjadi sedetil pembelajaran pada *side-and-dimension-based* FNLVQ, setiap dimensi dilatih agar mencakup nilai dengan tepat, tanpa memberikan toleransi rentang nilai yang lebih lebar. Sebaliknya, *vector-based* FNLVQ melakukan pembelajaran pada satuan yang lebih besar, yaitu satuan vektor. Dengan demikian, pembelajaran yang terjadi lebih banyak, sehingga dimensi-dimensi akan bisa mencakup rentang nilai yang lebih lebar. Oleh karena itu, *vector based* FNLVQ mampu mencapai tingkat identifikasi yang lebih tinggi.

Selain memberi rentang toleransi nilai lebih lebar untuk kepentingan identifikasi citra *noisy*, pembelajaran *vector-based* FNLVQ ini membawa dampak buruk pada tingkat klasifikasi yang dicapai. Pembelajaran yang banyak ini membuat rentang nilai setiap dimensi sedemikian lebar untuk mengantisipasi nilai-nilai pada citra *noisy*, akibatnya jaringan tidak lagi mampu membedakan citra teregistrasi dan citra tidak teregistrasi. Hal ini disebabkan oleh lebarnya dimensi vektor perwakilan yang mencakup pula nilai-nilai yang tidak mewakili kelas tersebut, bahkan mencakup nilai pada citra *outlier*.

Rata-rata tingkat klasifikasi *vector-based* FNLVQ terhadap citra *noisy* sangat buruk, karena jika citra teregistrasi bisa dikenali, citra tidak teregistrasi tidak bisa dikenali, dan sebaliknya. Rata-rata tingkat klasifikasi yang terlihat sebesar 50%-55% untuk *vector-based* FNLVQ tidak menunjukkan bahwa jaringan bisa mengklasifikasikan citra *noisy* dengan baik, karena itu hanya berasal dari pengenalan citra teregistrasi saja, atau sebaliknya. Jaringan yang demikian tentunya tidak bermanfaat untuk melakukan klasifikasi.